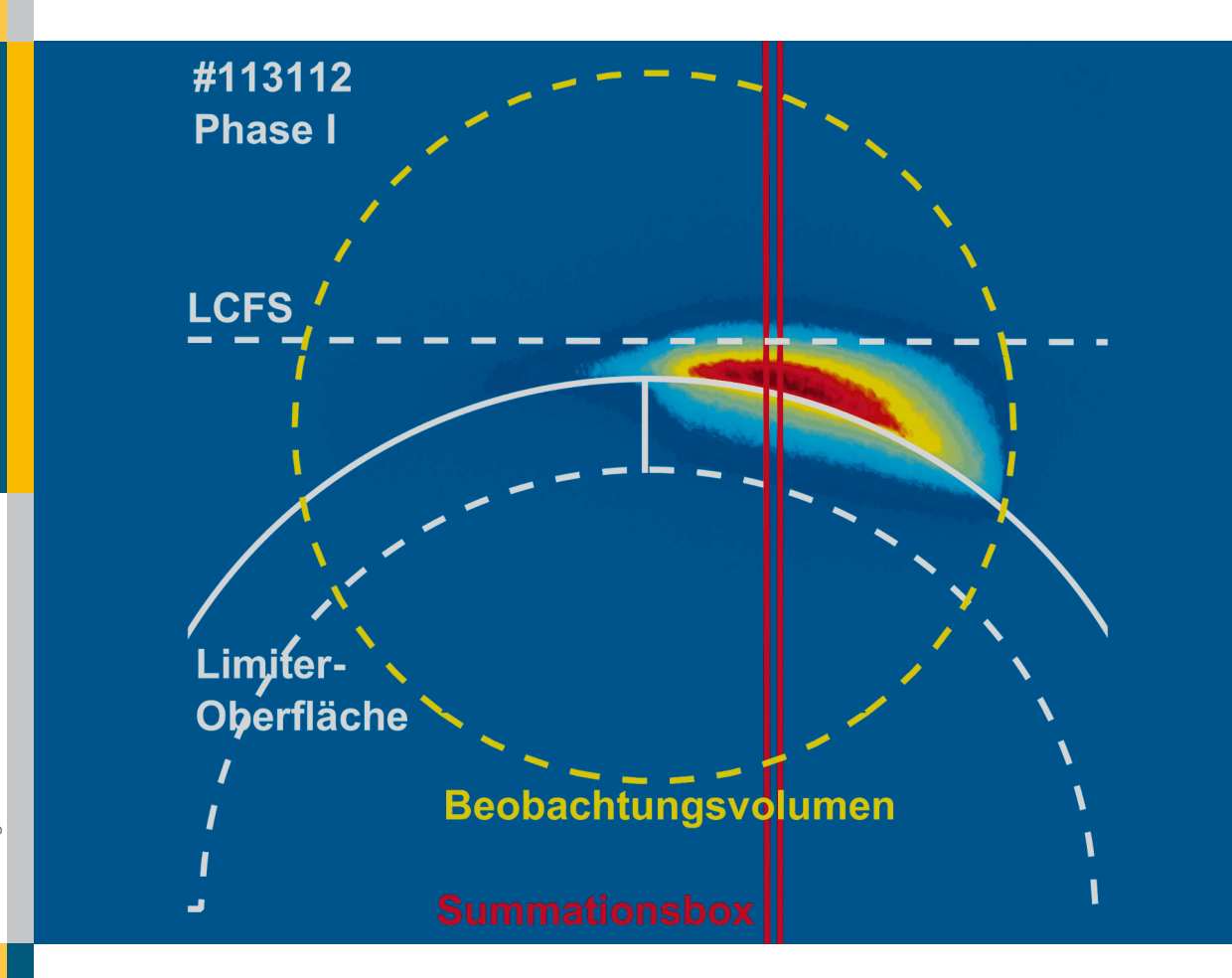
Bestimmung der Wolframerosion mittels optischer Spektroskopie unter ITER-relevanten Plasmabedingungen

Marko Laengner



Energie & Umwelt/ Energy & Environment Band/Volume 385 ISBN 978-3-95806-257-3



Forschungszentrum Jülich GmbH Institut für Energie- und Klimaforschung Plasmaphysik (IEK-4)

Bestimmung der Wolframerosion mittels optischer Spektroskopie unter ITER-relevanten Plasmabedingungen

Marko Laengner

Schriften des Forschungszentrums Jülich Reihe Energie & Umwelt / Energy & Environment

Inhaltsverzeichnis

Kurzfassung							
ΑI	ostra	ct	iii				
ln	halts	verzeichnis	vi				
1	Einl	Einleitung					
2	Moi	nte-Carlo-Code zur Simulation von W-Erosion	4				
3	Physikalische Erosion von Wolfram						
	3.1	Zerstäubungsprozess	8				
	3.2	Einfluss der Plasmarandschicht	9				
	3.3	Plasmafluss	10				
	3.4	Zerstäubungsausbeute	15				
	3.5	Redeposition	15				
	3.6	Sigmund-Thompson-Geschwindigkeitsverteilung	17				
	3.7	"Kosinus"-Verteilung	19				
4	Spe	Spektroskopie zur Bestimmung der W-Erosion					
	4.1	Emission und Ionisation	21				
	4.2	Linienverhältnisse	23				
	4.3	Teilchenflüsse	24				
	4.4	Photoeffizienz und S/XB -Wert	25				
	4.5	Eindringtiefen	27				
5	Dat	Datenlage der Ionisations- und Anregungsratenkoeffizienten					
	5.1	Ionisationsratenkoeffizienten	28				
	5.2	Anregungsratenkoeffizienten	31				
	5.3	Photoemissionsratenkoeffizienten	33				
6	Ехр	Experimenteller Aufbau					
	6.1	Das Fusionsexperiment TEXTOR	35				
		6.1.1 Aufbau	35				
	6.2	Messung der Plasmaparameter am Plasmarand	37				
	6.3	Spektroskopischer Aufbau	38				
	6.4	Absolutkalibration der spektroskopischen Systeme	39				
	6.5	W-Zerstäubung	43				
	6.6	WF ₆ -Injektion	46				

7	Experimentelle Untersuchung der Anregung und Ionisation von W ⁰ 7.1 Untersuchung der Emissionsprofile für atomares W aus einem W-Zerstäubung						
			iment	_			
		7.1.1	Emissionsprofile für W I (400.88 nm) $\ \ldots \ \ldots \ \ldots \ \ldots$				
		7.1.2	Untersuchung der Anregung von W ⁰ mit einem Stoß-Strahlung				
			Modell				
		7.1.3	Bestimmung von Ionisationsratenkoeffizienten für W ⁰ mit PSICO				
		7.1.4	Experimentelle Näherung: Bestimmung von S aus der Abfallläng λ_{eff}	-			
	7.2	Zerstä	iubung einer abgelagerten W-Schicht bei einfacher Geometrie				
	7.3		eich der ermittelten Ionisationsratenkoeffizienten				
	7.4		nmenfassung der Resultate dieses Kapitels				
8	WF ₆ -Injektion als kontrollierbare W-Quelle						
	8.1	Unter	suchung der Emissionsprofile für atomares W aus einer WF_6 -Quelle				
		8.1.1	Erweiterung des analytischen Modells um die WF ₆ -Dissoziation				
		8.1.2	Erweiterung von PSICO um die WF ₆ -Dissoziation				
		8.1.3	Profilvergleich für zerstäubtes und injiziertes W				
		8.1.4	Zusammenfassung der Resultate dieses Kapitels	129			
9	Verg	gleich (der experimentellen Linienverhältnisse	131			
10	Anw	endun	g der WF ₆ -Injektion: Bestimmung von Photoeffizienzen	142			
			oeffizienzen für W I- und W II-Linien				
			eich mit unabhängigen Experimenten				
			eich mit PSICO				
11	W-Flussbestimmung in Zerstäubungsexperimenten durch Anwendung der Pho-						
		fizienz	.	173			
12	2 Zusammenfassung der Resultate						
Lit	eratı	ır		IX			
Da	nksa	gung		X			
Erklärung							



Energie & Umwelt/ Energy & Environment Band/Volume 385 ISBN 978-3-95806-257-3

